

# Déterminants biophysiques et historiques des AOC viticoles en Bourgogne

Jean-Sauveur AY                      Mohamed HILAL  
< [jean-sauveur.ay@inra.fr](mailto:jean-sauveur.ay@inra.fr) >      < [mohamed.hilal@inra.fr](mailto:mohamed.hilal@inra.fr) >

Unité Mixte de Recherche CESAER  
AgroSup / INRA / Univ. Bourgogne Franche-Comté  
26 boulevard du docteur Petitjean 21000 DIJON

*Data paper* version 0.2 du Mardi 04 juin 2019

## Résumé

Cet article présente la construction de données au niveau des parcelles cadastrales pour étudier statistiquement les liens entre les caractéristiques biophysiques (topographie, géologie, pédologie) et les appellations d'origine contrôlée (AOC). Sur les 31 communes de la Côte d'Or qui forment la Côte de Beaune et la Côte de Nuits, nous proposons une modélisation économétrique qui permet de classer l'ensemble des parcelles sur une échelle continue à partir de leurs caractéristiques biophysiques. Nous obtenons une persistance d'effets communaux que nous interprétons comme issus d'éléments historiques. Les données, méthodes et prédictions sont disponibles sous licence GNU GPL v3 sur <https://data.inra.fr/geoInd/> et sont consultables par le biais d'une application sur <http://github.com/jsay/geoInd/>.

**Mots-clés:** Économie viti-vinicole ; signes de qualité ; recherche reproductible ; système d'information géographique ; modélisation économétrique.

## Table des Matières

<b>1</b>	<b>Introduction</b>	<b>2</b>	<b>4</b>	<b>Modèle économétrique</b>	<b>14</b>
			4.1	Estimation du modèle	14
<b>2</b>	<b>Construction des données</b>	<b>3</b>	4.2	Variables biophysiques	15
2.1	Les AOC au niveau des parcelles	3	4.3	Effets communaux	15
2.2	Enrichissement de la topographie	4	4.4	Prédiction continue	16
2.3	Enrichissement de la géologie	5	<b>5</b>	<b>Application cartographique</b>	<b>18</b>
2.4	Enrichissement de la pédologie	6	5.1	Agrégation par lieux dits	18
2.5	Enrichissement des AOC de 1936	7	5.2	Cartographie dynamique	19
2.6	Enrichissement des lieux dits	8	5.3	Interface utilisateur	20
2.7	Enregistrement de la base	9	5.4	Calculs serveur	21
<b>3</b>	<b>Statistiques descriptives</b>	<b>11</b>	5.5	Lancement de l'application	22
3.1	Filtrage des données	11	<b>6</b>	<b>Conclusion</b>	<b>22</b>
3.2	Distribution des AOC	11	<b>7</b>	<b>Bibliographie</b>	<b>22</b>
3.3	Les AOC historiques	12	<b>A</b>	<b>Annexes</b>	<b>23</b>
3.4	Autre graphique	12			
3.5	yop	14			

# 1 Introduction

Les appellations d'origine contrôlée (AOC) viticoles en Bourgogne résultent de processus historiques complexes au cours desquels les parcelles de vigne ont été classifiées selon leurs caractéristiques biophysiques et les rapports économiques, politiques et sociaux en vigueur (Garcia, 2011; Wolikow and Jacquet, 2011). La classification actuelle est issue de plusieurs siècles de culture de la vigne, de production de vin et de négociation sur les dénominations. Ces trois ensembles de pratiques forment les usages loyaux et constants définis dans la doctrine de l'institut national de l'origine et de la qualité (INAO) qui est elle-même un processus historique (Capus, 1947; Humbert, 2011). La complexité des informations contenues dans la référence au lieu de production et leur évolution dans le temps sont à la fois la force et la faiblesse des AOC, car elles permettent de simplifier les nombreux déterminants de la qualité des vins au risque d'une faible pertinence et d'une opacité croissante pour les acteurs des marchés du vin.

La question de la transmission de l'information sur la qualité des biens fait l'objet d'une littérature économique abondante (Coestier and Marette, 2004). L'asymétrie d'information y est décrite comme une défaillance de marché qui invalide le premier théorème du bien-être et par là même l'efficacité de l'allocation par le libre marché. De plus, le recours aux indications géographiques apparaît typiquement comme une solution partielle qui segmente artificiellement la production et génère des rentes non justifiées pour les producteurs au détriment des consommateurs. Nous nous concentrons dans cet article sur la capacité des AOC à simplifier l'information sur les caractéristiques des lieux de production, en laissant de côté la question de la pertinence de cette information pour le marché. Nous proposons de démêler statistiquement les déterminants biophysiques et historiques des AOC par l'utilisation de données exhaustives à l'échelle des parcelles du cadastre. Nous proposons également d'affiner l'information contenue dans les AOC actuelles par une classification continue des vignes corrigée économétriquement des effets communaux issus de l'histoire. Ces méthodes et résultats sont librement utilisables par le biais d'une application cartographique.

Le travail sur les données consiste à appairer les informations biophysiques des parcelles cadastrales aux AOC par l'utilisation d'un système d'information géographique. La Section 2 suivante présente le détail de la construction des données, avec les codes R utilisés, afin d'assurer la reproductibilité de nos analyses. La parcelle cadastrale est l'unité géographique de base qui permet l'enrichissement de variables topographiques (issues de IGN 5 m), de variables géologiques (issues du BRGM), de variables pédologiques (issues du RPB) et de variables complémentaires sur les AOC en 1939 et les lieux dits administratifs. Les données se limitent actuellement aux 31 communes de la Côte de Beaune et la Côte de Nuits, soit le département de la Côte d'Or à l'exception des Hautes Côtes et du Châtillonnais (voir Figure XX). Des statistiques descriptives sont présentées dans la Section 3.

La Section 4 présente ensuite le détail de l'estimation du modèle économétrique décrit plus extensivement dans un article associé (Ay, 2019). Nous utilisons la structure hiérarchique des niveaux d'AOC, à savoir Côteaux Bourguignons < Bourgogne Régional < Bourgogne Village < Premier Cru < Grand Cru, pour simplifier le rôle des caractéristiques biophysiques des parcelles au travers d'une variable latente de qualité des vignes. Nous estimons un modèle ordonné additif semi-paramétrique (OGAM) qui permet de prédire correctement 90% des AOC de la zone par un lissage spatial fin. Ce modèle permet également d'identifier des effets communaux indépendants des variables biophysiques, potentiellement issus de facteurs humains tels que les syndicats de producteurs (Jacquet, 2009). Nous présentons également une application cartographique qui permet de consulter facilement les prédictions du modèle dans la section 5.

La base de données utilisée pour estimer le modèle est disponible en shapefile and Rdata sur le serveur *dataverse* de l'INRA <https://data.inra.fr/geoInd/> (licence GNU GPL v3). Ce n'est pas le cas des fichiers sources utilisés dans la section suivante qui sont trop volumineux. Ils peuvent cependant être obtenus sur demande motivée auprès des auteurs.

## 2 Construction des données

### 2.1 Les AOC au niveau des parcelles

L'unité géographique de base est la parcelle cadastrale dont la géométrie est issue de la BD parcellaire de l'IGN version X.XX téléchargée le XX/XX/2018 à l'adresse [XX](#). Ces données sont sous licence XX. Trois traitements ont été effectués au préalable et ne sont pas reportés en détail ici. Nous avons calculé avec un système d'information géographique les caractéristiques géométriques (surface, périmètre, et distance maximale entre deux sommets). Nous avons ensuite créé un identifiant pour apparier les parcelles avec les données du modèle numérique de terrain présenté dans la sous-section suivante. Nous avons enfin apparié les délimitations parcellaire des AOC Viticoles de l'INAO disponible à l'adresse <https://www.data.gouv.fr/fr/datasets/delimitation-parcellaire-des-aoc-viticoles-de-linao> sous licence ouverte. Le résultat de ces traitements se trouve dans le fichier /Carto/GeoCad (disponible auprès des auteurs sur demande) présenté dans le code suivant :

---

```
library(sp) ; library(rgdal)
Geo.Cad <- readOGR("./Carto", "GeoCad")
apply(Geo.Cad@data, function(x) sum(is.na(x)))
```

---

```
OGR data source with driver: ESRI Shapefile
Source: "/home/jsay/geoInd/Carto", layer: "GeoCad"
with 110350 features
It has 16 fields
```

IDU	CODECOM	AREA	PERIM	MAXDIST	PAR2RAS	PAOC	BGOR
0	0	0	0	0	0	49718	49718
BOUR	VILL	COMM	PCRUR	GCRUR	AOC	AOCtp	AOC1b
49718	49718	49718	49718	49718	0	49718	49718

Ce fichier contient 110 350 parcelles et 16 variables que la Table 1 suivante présente plus en détails. L'information brute issue de la superposition avec la couche INAO est présente dans les variables PAOC à GCRU. Les 49 718 valeurs manquantes qui apparaissent en sortie correspondent aux parcelles hors AOC. Nous avons retravaillé cette information dans les trois variables qui suivent, plus opérationnelles pour l'analyse économétrique. En effet, selon le principe des replis, les parcelles d'un niveau hiérarchique supérieur peuvent être revendiquées dans un niveau inférieur. Cela produit la présence de plusieurs AOC sur une même parcelle selon les variables issues de la superposition des couches de l'INAO alors qu'il est interdit de revendiquer des AOC différentes. La variable AOC représente l'AOC maximale à laquelle la parcelle peut prétendre, elle est codée 0 pour les parcelles hors AOC, 1 pour les Coteaux Bourguignons, 2 pour les Bourgognes Régionales, jusqu'à 5 pour les Grands Crus. Par contre, les informations présentes sur l'étiquette des vins peuvent être des appellations ou des dénominations au sein du système des AOC (même si cette distinction n'est pas toujours claire pour les individus, nous utilisons AOC comme le terme générique qui englobe les deux en précisant lorsque c'est nécessaire). Le libellé AOC1b renvoie généralement l'appellation sauf pour les "Bourgognes Régionales" (ou la dénomination "Bourgogne Côte d'Or" est prédominante) et les "Premiers Crus" (qui ont chacun une dénomination qui permet de les distinguer). La commande `table(Geo.Cad$AOC, Geo.Cad$AOCtp)` permet de rendre compte de cette structuration de ces variables.

Table 1: **Nom, type et description des variables disponibles au niveau parcellaire**

NOM	TYPE	DESCRIPTION
IDU	<i>Caractère</i>	Identifiant cadastral de la parcelle (14 caractères)
CODECOM	<i>Caractère</i>	Code INSEE de la commune d'appartenance (5 caractères)
AREA	<i>Numérique</i>	Surface calculée de la parcelle (en mètres carrés)
PERIM	<i>Numérique</i>	Périmètre calculé de la parcelle (en mètres)
MAXDIST	<i>Numérique</i>	Distance maximale calculée entre deux sommets (en mètres)
PAR2RAS	<i>Numérique</i>	Identifiant pour appariement avec le modèle numérique de terrain
PAOC	<i>Indicatrice</i>	1 si la parcelle est dans au moins une AOC
BGOR	<i>Indicatrice</i>	1 si la parcelle est dans le niveau Coteaux Bourguignon
BOUR	<i>Indicatrice</i>	1 si la parcelle est dans le niveau Bourgogne Régional
VILL	<i>Indicatrice</i>	1 si la parcelle est dans le niveau Village
COMM	<i>Indicatrice</i>	1 si la parcelle est dans le niveau Communal
PCRUI	<i>Indicatrice</i>	1 si la parcelle est dans le niveau Premier Cru
GCRUI	<i>Indicatrice</i>	1 si la parcelle est dans le niveau Grand Cru
AOC	<i>Numérique</i>	Rang de la parcelle dans la hiérarchie des AOC (entre 0 et 5)
AOCtp	<i>Caractère</i>	Appel si le libellé est une appellation, Denom pour dénomination
AOC1b	<i>Caractère</i>	Libellé de l'appellation ou de la dénomination selon la variable AOCtp

## 2.2 Enrichissement de la topographie

Les données sur la topographie sont issues du modèle numérique de terrain de l'IGN RESOLUTION, SITE, sous licence XX. Un premier traitement non reporté a été l'attribution de l'identifiant PAR2RAS aux cellules du raster par superposition avec la géographie du parcellaire présentée ci-dessus. Nous avons ensuite enrichi les données raster d'un mode d'occupation des sol (SOURCE) et d'une perméabilité calculée (SOURCE). Nous avons enfin calculé les variables topographiques que sont l'altitude, la pente, l'exposition et les radiations solaires (détails en Annexe). À partir des plus de 14 millions de cellules pour 13 variables, le code ci-dessous permet l'agrégation des variables raster au niveau des parcelles. Nous calculons des moyennes à l'échelle des parcelles, sachant que d'autres méthodes d'agrégation ont été utilisées sans différences sur les résultats. Le fichier Data/DatRas appariés aux données du cadastre peut être obtenu auprès des auteurs.

```
library(data.table)
dim(Dat.Ras <- fread("./Data/DatRas.csv"))
Cad.Ras <- Dat.Ras[, lapply(.SD, mean),
                    by= list(PAR2RAS), .SDcols= names(Dat.Ras)[ -c(1, 4)]]
Geo.Ras <- merge(Geo.Cad, Cad.Ras, by= "PAR2RAS")
sapply(Geo.Ras@data[, 17: 26], function(x) sum(is.na(x))); rm(Dat.Ras)
```

data.table 1.11.4 Latest news: <http://r-datatable.com>

```
[1] 14253070      13
```

XL93	YL93	NOMOS	URBAN	FOREST	WATER	DEM	SLOPE	ASPECT	SOLAR
2096	2096	2096	2096	2096	2096	2096	2096	2096	2096

Le détails des variables issue du fichier raster est disponible dans la Table 2 ci-dessous. Nous obtenons 2 096 valeurs manquantes pour lesquelles le code PAR2RAS des parcelles ne s'apparie à aucune cellule raster. Ces parcelles sont de très petites parcelles avec des géométrie particulières et font penser à des "erreurs" du cadastre. Nous les enlèverons de l'analyse sachant que cela revient à enlever 2.7 ha, moins de 0.01 % de la surface totale. Nous n'utilisons qu'un sous ensemble du MOS principalement afin de distinguer le non agricole.

Table 2: **Nom, type et description des variables issues des données raster**

NOM	TYPE	DESCRIPTION
XL93	<i>Numérique</i>	Latitude du centroïde de la parcelle (système Lambert 93)
YL93	<i>Numérique</i>	Longitude du centroïde de la parcelle (système Lambert 93)
NOMOS	<i>Numérique</i>	Part de la parcelle hors du mode d'occupation des sol (entre 0 et 1)
URBAN	<i>Numérique</i>	Part de la parcelle en usage urbain selon le MOS (entre 0 et 1)
FOREST	<i>Numérique</i>	Part de la parcelle en usage forestier selon le MOS (entre 0 et 1)
WATER	<i>Numérique</i>	Part de la parcelle en eau selon le MOS (entre 0 et 1)
DEM	<i>Numérique</i>	Altitude moyenne de la parcelle selon le MNT (en mètres)
SLOPE	<i>Numérique</i>	Pente moyenne de la parcelle selon le MNT (en degrés)
ASPECT	<i>Numérique</i>	Exposition moyenne de la parcelle selon le MNT (en degrés)
SOLAR	<i>Numérique</i>	Radiation solaire moyenne sur la parcelle (en Joules)
PERMEA	<i>Numérique</i>	Perméabilité des sols moyenne (entre 0 et 4)

## 2.3 Enrichissement de la géologie

Les données géologiques sont issues de la Bd Charm-50 du BRGM à l'échelle 1/50 000 disponible sur le site <http://infoterre.brgm.fr> sous licence Ouverte. Nous utilisons ici une extraction du fichier GEO050K\_HARM\_021\_S\_FGEOL\_CGH\_2154 effectuée en avril 2019 pour le département de la Côte d'Or. Le seul travail non reporté sur ces données est une sélection des variables bien renseignées et qui contiennent une variance non nulle sur la zone considérée. Nous apparions les 13 960 polygones géologiques présent dans /Carto/GeolMap (disponible sur demande) sur la base du centroïde des parcelles cadastrales, comme présenté dans le code suivant. La faible taille moyenne des parcelles sous AOC (moins de 0.2 ha de moyenne) permet de s'assurer de la validité de cette procédure.

```

Geol.Map <- readOGR("./Carto/", "GeolMap")
Pts.Cad <- SpatialPoints(Geo.Ras, proj4string= CRS(proj4string(Geol.Map)))
Geo.Ras@data <- cbind(Geo.Ras@data, over(Pts.Cad, Geol.Map))
sapply(Geo.Ras@data[, 28: 43], function(x) sum(is.na(x)))

```

```

OGR data source with driver: ESRI Shapefile
Source: "/home/jsay/geoInd/Carto", layer: "GeolMap"
with 13960 features
It has 16 fields

```

CODE	NOTATION	DESCR	TYPEGEOL	APLOCALE	TYPEAP
31	31	31	31	862	862

GEOLNAT	ISOPIQUE	AGEDEB	ERADEB	SYSDEB	LITHOLOGIE
31	31	31	31	31	31
DURETE	ENVIRONMT	GEOCHIMIE	LITHOCOM		
69	31	31	69		

Les détails des 16 variables géologiques issues de la procédure sont disponibles dans la Table 3 suivante. La description des variables manque de détails car les données géologiques ne possèdent pas encore de dictionnaire (une demande est en cours auprès du BRGM). Ce manque de détails n'est pas fondamental pour l'analyse économétrique (il peut l'être pour d'autres usages des données) car les variables géologiques ne sont utilisées qu'au travers d'effets fixes qui correspondent à la technique la plus générale. Cela permet de contrôler l'hétérogénéité des parcelles sans avoir à spécifier le rôle des caractéristiques géologiques, au prix d'une interprétation moindre. Les parcelles non appariées qui produisent des valeurs manquantes sont peut nombreuses (entre 31 et 862 selon les variables) et seront négligées dans l'analyse économétrique sans conséquence.

Table 3: **Nom, type et description des variables issues des données géologiques**

NOM	TYPE	DESCRIPTION
CODE	<i>Caractère</i>	Code de la géologie (31 modalités)
NOTATION	<i>Caractère</i>	Notation géologie (31 modalités)
DESCR	<i>Caractère</i>	Description géologie (31 modalités)
TYPEGEOL	<i>Caractère</i>	Type superficiel (4 modalités)
APLOCALE	<i>Caractère</i>	Colluvions, Eboulis, etc. (28 modalités)
TYPEAP	<i>Caractère</i>	Type de formation (7 modalités)
GEOLNAT	<i>Caractère</i>	Nature Géologique (3 modalités)
ISOPIQUE	<i>Caractère</i>	Faciès des couches (4 modalités)
AGEDEB	<i>Caractère</i>	Age de la couche (24 modalités)
ERADEB	<i>Caractère</i>	Céno ou Méso (2 modalités)
SYSDEB	<i>Caractère</i>	Age autre (5 modalités)
LITHOLOGIE	<i>Caractère</i>	Litho (16 modalités)
DURETE	<i>Caractère</i>	Durété (3 modalités)
ENVIRONMT	<i>Caractère</i>	Environnement (9 modalités)
GEOCHIMIE	<i>Caractère</i>	Géochimie (5 modalités)
LITHOCOM	<i>Caractère</i>	Litho détaillée (30 modalités)

## 2.4 Enrichissement de la pédologie

Les données pédologiques sont extraites du Référentiel Pédologique de Bourgogne : Régions naturelles, pédopaysage et sols de Côte d'Or (étude 25021) à l'échelle 1/250 000, compatible avec la base de données nationale DoneSol, sous licence XX (Chrétien, 1998). La localisation des types de sol et l'appariement avec le cadastre s'opèrent par les 194 Unités Cartographiques de Sols de la zone, qui sont des polygones plutôt homogènes en termes de paysage mais qui contiennent différents types de sols. Ces derniers, regroupés en unités typologiques, ne peuvent pas être localisés plus précisément (Ay, 2011). En l'absence de données plus fines spatialement, les données parcellaires seront enrichies du code des unités cartographiques et les valeurs de l'unité typologique dominante, c'est-à-dire celle qui est la plus étendue au sein de chaque unité cartographique. Comme pour la géologie, les données pédologiques seront utilisées par des effets fixes au

niveau des unités cartographiques, ce qui fait que cette procédure n'est pas limitante (elle peut cependant l'être pour d'autres usages). Les intitulés des unités cartographiques sont obtenus par un travail manuel à partir du site <https://bourgogne.websol.fr/carto>.

---

```
Pedo.Map <- readOGR("./Carto", "PedoMap")
Geo.Ras@data <- cbind(Geo.Ras@data, over(Pts.Cad, Pedo.Map))
Geo.Ras@data[, c(45: 48, 50: 55)] <-
  apply(Geo.Ras@data[, c(45: 48, 50: 55)], 2, as.numeric)
sapply(Geo.Ras@data[, 44: 56], function(x) sum(is.na(x)))
```

---

OGR data source with driver: ESRI Shapefile  
 Source: "/home/jsay/geoInd/Carto", layer: "PedoMap"  
 with 194 features  
 It has 13 fields

NOUC	SURFUC	TARG	TSAB	TLIM	TEXTAG	EPAIS	TEG	TMO	RUE
14645	14645	14645	14645	14645	14645	14645	14645	14645	14645
RUD	OCCUP	DESCRp							
14645	14645	14645							

Les détails des 13 variables pédologiques issues de la procédure sont disponibles dans la Table 4 suivante. Les valeurs manquantes associées aux parcelles non couvertes par la pédologie sont 14 645, soit XX %. Ces parcelles correspondent visuellement aux espaces urbanisés bien que cela ne se retrouve pas vraiment à partir du MOS. A DECIDER.

Table 4: **Nom, type et description des variables issues des données pédologiques**

NOM	TYPE	DESCRIPTION
NOUC	<i>Caractère</i>	Numéro de l'unité cartographique (2 caractères)
SURFUC	<i>Numérique</i>	Surface de l'unité cartographique (en hectares)
TARG	<i>Numérique</i>	Taux d'argile de l'unité typologique dominante (pourcentage)
TSAB	<i>Numérique</i>	Taux de sable de l'unité typologique dominante (pourcentage)
TLIM	<i>Numérique</i>	Taux de limons de l'unité typologique dominante (pourcentage)
TEXTAG	<i>Caractère</i>	Classes de textures agrégées en 9 modalités (voir Ay, 2011)
EPAIS	<i>Numérique</i>	Épaisseur des sols de l'unité typologique dominante (centimètre)
TEG	<i>Numérique</i>	Taux d'éléments grossiers de l'unité typologique dominante (pour mille)
TMO	<i>Numérique</i>	Taux de Matière organique de l'unité typologique dominante (pourcentage)
RUE	<i>Numérique</i>	Réserve Utile par excès de l'unité typologique dominante (millimètre)
RUD	<i>Numérique</i>	Réserve Utile par défaut de l'unité typologique dominante (millimètre)
OCCUP	<i>Numérique</i>	Part de l'unité typologique dominante dans l'unité carto (entre 0 et 1)
DESCRp	<i>Caractère</i>	Libellé de la classe pédologique en 33 modalités

## 2.5 Enrichissement des AOC de 1936

Les AOC en vigueur en 1936 à la création de l'INAO ont été obtenues de la Maison des Sciences de l'Homme de Dijon (Licence?? avec l'aide de Florian Humbert). Un travail préalable a été effectué sur les AOC de



1936 afin de compiler les différentes années de 1936 à 1940. La localisation est effectuée par le centroïde des parcelles cadastrales car la géométrie des polygones ne correspond pas parfaitement (à la fois par la numérisation et parce que le cadastre a changé). Encore une fois, la faible taille des parcelles permet d'avoir confiance en cette procédure d'appariement.

---

```
Hist.Aoc <- readOGR("Carto/", "Aoc1936")
Geo.Ras@data <- cbind(Geo.Ras@data, over(Pts.Cad, Hist.Aoc))
sapply(Geo.Ras@data[, 57: 58], function(x) sum(is.na(x)))
```

---

```
OGR data source with driver: ESRI Shapefile
Source: "/home/jsay/geoInd/Carto", layer: "Aoc1936"
with 56 features
It has 2 fields
AOC36lab AOC36lv1
      70      70
```

Nous obtenons des aires sensiblement plus réduites que les actuelles, 27% au lieu de 55% trouvés ci-dessus. Hormis le creux de 1938, entre 10 et 15% des parcelles sont classées chaque année, sachant qu'il y a du double compte. Les premiers crus n'apparaissent pas car ils n'existaient pas à l'époque (création en 1948). le décret instaurant les Premiers Crus ne fut toutefois adopté qu'en 1943. Deux classements historiques servirent de principales références à la désignation de ces ceux-ci: celui de Jules Laval de 1855 et le Classement du Comité d'Agriculture et de Viticulture de l'Arrondissement de Beaune de 1860.

Table 5: **Nom, type et description des variables issues des AOC de 1936**

NOM	TYPE	DESCRIPTION
AOC36lab	<i>Caractère</i>	Libellé de l'appellation en 1936 (56 modalités)
AOC36lv1	<i>Caractère</i>	Rang de la parcelle dans la hiérarchie des AOC (entre 0 et 5)

## 2.6 Enrichissement des lieux dits

Il s'agit ici d'inclure de l'information cadastrale à partir des sources `data.gouv.fr`. Nous utilisons le Plan Cadastral Informatisé Vecteur (Format EDIGÉO, <https://cadastre.data.gouv.fr/datasets/plan-cadastral-informatise>) téléchargé pour la Côte d'Or (21) le <2019-01-13 dim.>. License ouverte Etalab. La difficulté avec les lieux dits est qu'ils doivent être croisés avec les communes car un même nom lieu dit peut être présent sur plusieurs communes. Comme la géométrie des lieux dits et des parcelles colle parfaitement, nous pouvons enrichir les données parcellaires directement par le centroïde. Ajout <2019-01-23 mer.>, des données communales, nous extrayons également les coordonnées des chefs-lieux pour calculer une distance à vol d'oiseaux, la population (peuvent être des sur-identifications sur le land use) et la distinction Côte de Beaune / Côtes de Nuits. Nous enregistrons également une shapefile MapCom qui permet de cartographier les contours communaux dans les figures.

---

```
Lieu.Dit <- readOGR("./Carto/", "LieuDit")
Geo.Ras@data <- cbind(Geo.Ras@data, over(Pts.Cad, Lieu.Dit[, -1]))
sapply(Geo.Ras@data[, 59: 68], function(x) sum(is.na(x)))
```

---



OGR data source with driver: ESRI Shapefile  
Source: "/home/jsay/geoInd/Carto", layer: "LieuDit"  
with 3285 features  
It has 11 fields

LIEUDIT	CLDVIN	LIBCOM	XCHF	YCHF	ALTCOM	SUPCOM
4494	4494	4494	4494	4494	4494	4494
POPCOM	CODECANT	REGION				
4494	4494	4494				

Pour 4% des parcelles, aucun lieu dit n'a été apparié. Ces parcelles se concentrent sur les communes de Chenôve, Marsannay-la-Côte et Beaune (Corgoloin dans une moindre mesure). Ces "trous" apparaissent déjà dans le fichier source et ne sont donc pas un résultat de l'appariement. Ils semblent être des espaces bâtis sur la carte, mais ce n'est toujours pas confirmé par le MOS.

Table 6: **Nom, type et description des variables issues des lieux dits**

NOM	TYPE	DESCRIPTION
LIEUDIT	<i>Caractère</i>	Libellé du lieu dit de la parcelle (2691 modalités)
CLDVIN	<i>Caractère</i>	Identifiant du lieu dit de la parcelle (2691 modalités)
LIBCOM	<i>Caractère</i>	Libellé de la commune de la parcelle (31 modalités)
XCHF	<i>Numérique</i>	Latitude du chef-lieu de la commune (système Lambert 93)
YCHF	<i>Numérique</i>	Longitude du chef-lieu de la commune (système Lambert 93)
ALTCOM	<i>Numérique</i>	Altitude du point culminant de la commune (mètre)
SUPCOM	<i>Caractère</i>	Superficie de la commune de la parcelle (hectare)
POPCOM	<i>Numérique</i>	Population de la commune de la parcelle en 2015 (millier d'hab)
CODECANT	<i>Caractère</i>	Identifiant du canton d'appartenance (2 caractères)
REGION	<i>Caractère</i>	Region viticole (CDB Côte de Beaune, CDN Côte de Nuits)

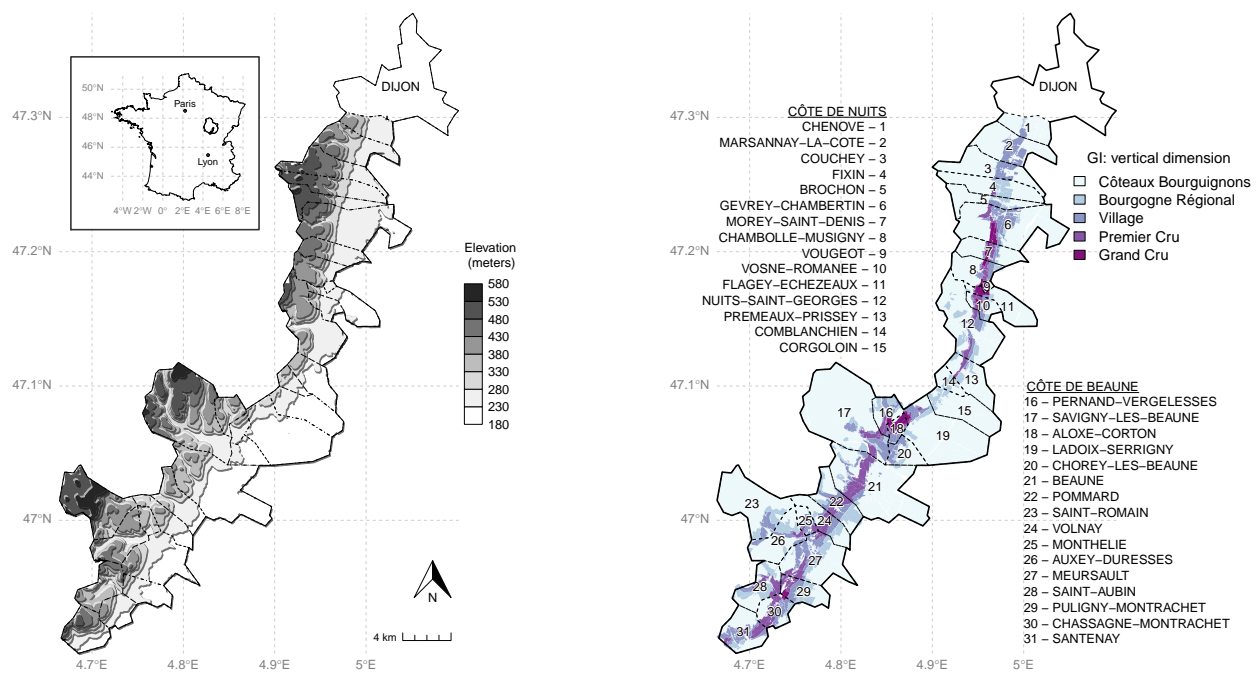
## 2.7 Enregistrement de la base

Pour l'instant, on est à moins de 500 Mo. correspond à l'unesco? <https://whc.unesco.org/fr/list/1425/>

```
dim(Geo.Ras)
save(Geo.Ras, file= "Inter/GeoRas.Rda")
writeOGR(Geo.Ras, "Carto/", "GeoRas", driver= "ESRI Shapefile")
```

[1] 110350 68

Figure 1: Vignobles de la Côte d'Or, topographie et appellations d'origine contrôlées  
blabla.



## 3 Statistiques descriptives

### 3.1 Filtrage des données

Parmi les fichiers XX disponible sur le serveur data de l'INRA, nous partons du fichier `GeoRas.Rda` que l'utilisateur doit placer dans un répertoire `Inter/` à la racine pour pouvoir utiliser le logiciel R (cite). La première procédure à exécuter est présentée ci-dessous. Elle consiste à:

- Recoder les codes communaux selon le gradient Nord-Sud
- Calculer la distance au chef lieu de la commune
- Centrer réduire la variable sur les rayonnements solaires
- Recoder la variable exposition en catégories
- Re-projeter les coordonnées dans le système WGS84
- Enlever les valeurs manquantes de la base de données

---

```
load("Inter/GeoRas.Rda")
tmp <- unique(Geo.Ras$LIBCOM[order(Geo.Ras$YCHF, decreasing= TRUE)])
Geo.Ras$LIBCOM <- factor(Geo.Ras$LIBCOM, levels= tmp)
Geo.Ras$DISTCHF <- sqrt((Geo.Ras$XL93- Geo.Ras$XCHF* 100)^2
+ (Geo.Ras$YL93- Geo.Ras$YCHF* 100)^2)
Geo.Ras$RAYAT <- (Geo.Ras$SOLAR- mean(Geo.Ras$SOLAR, na.rm= TRUE))/
sd(Geo.Ras$SOLAR, na.rm= TRUE)
Geo.Ras$EXPO <- cut(Geo.Ras$ASPECT,
breaks= c(-2, 45, 90, 135, 180, 225, 270, 315, 360))
GR84 <- spTransform(Geo.Ras, CRS("+proj=longlat +ellps=WGS84"))
dd <- coordinates(GR84) ; Geo.Ras$X= dd[, 1] ; Geo.Ras$Y= dd[, 2]
dim(Reg.Ras <- subset(Geo.Ras, !is.na(AOC1b) & !is.na(DEM) & !is.na(DESCR)
& !is.na(RUD) & !is.na(AOC36lab) & !is.na(REGION)))
```

---

```
[1] 59113      73
```

La limitation aux parcelle ayant des AOC contribue largement à la diminution du nombre d'information (perte de XX contre XX pour les valeurs manquantes).

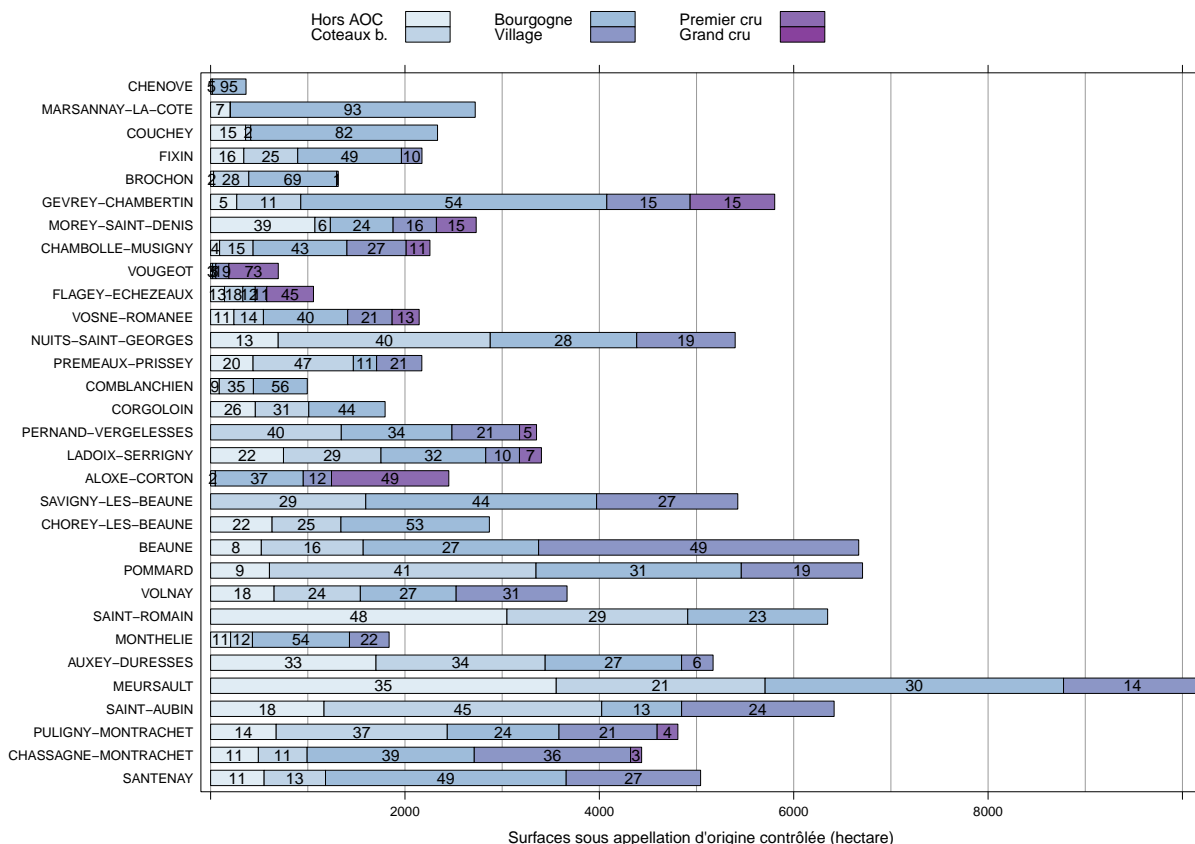
### 3.2 Distribution des AOC

Les deux dimensions des indications géographiques.

---

```
library(lattice) ; library(RColorBrewer)
fig.dat <- aggregate(model.matrix(~0+ factor(Reg.Ras$AOC))*
Reg.Ras$AREA/ 1000, by= list(Reg.Ras$LIBCOM), sum)
names(fig.dat) <- c("LIBCOM", "BGOR", "BOUR", "VILL", "PCRU", "GCRU")
fig.dat$LIBCOM <- factor(fig.dat$LIBCOM, lev= rev(levels(fig.dat$LIBCOM)))
fig.crd <- t(apply(fig.dat[, -1], 1, function(t) cumsum(t)- t/2))
fig.lab <- round(t(apply(fig.dat[, -1], 1, function(t) t/ sum(t)))* 100)
```

```
my.pal <- brewer.pal(n= 9, name = "BuPu")[ 2: 8]
barchart(LIBCOM~ BGOR+ BOUR+ VILL+ PCRU+ GCRU, xlim= c(-100, 10200),
  xlab="Surfaces sous appellation d'origine contrôlée (hectare)",
  data= fig.dat, horiz= T, stack= T, col= my.pal, border= "black",
  par.settings= list(superpose.polygon= list(col= my.pal)),
  auto.key= list(space= "top", points= F, rectangles= T, columns= 5,
    text=c("Hors AOC", "Coteaux b.", "Bourgogne",
      "Village", "Premier cru", "Grand cru")),
  panel=function(x, y, ...) {
    panel.grid(h= 0, v = -11, col= "grey60")
    panel.barchart(x, y, ...)
    ltext(fig.crd, y, lab= ifelse(fig.lab> 0, fig.lab, ""))})
```



### 3.3 Les AOC historiques

Hiérarchisation des données historiques par les nom de crus et s'il sont présents dans les nouvelles données.

### 3.4 Autre graphique

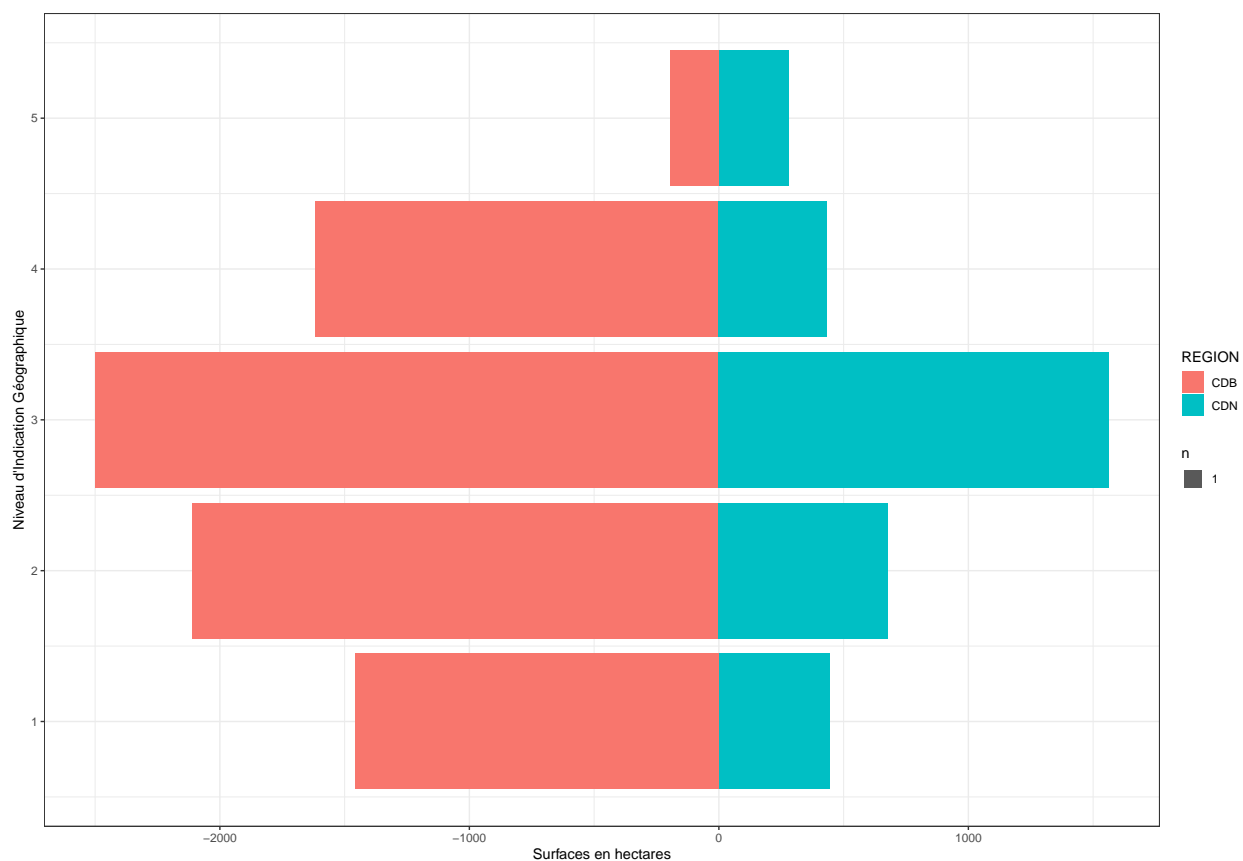
Définition de nos niveaux et implications en termes de surfaces sur la pyramides des AOC. Sur la Côte d'Or, on n'a pas vraiment la pyramide du BIVB. L'OP intègre mieux l'information, il ne faut pas mettre les 2 en concurrence. cette pratique est liée au principe de hiérarchisation des appellations d'origine, qui [...] s'emboîtent de manière pyramidale à partir d'une appellation régionale socle [...]. Dans cette optique, le vin

élaboré selon le cahier des charges d'une appellation hiérarchiquement supérieure répondrait de facto aux exigences de l'appellation régionale, dont les conditions de production sont moins contraignantes.

---

```
ddd <- aggregate(Reg.Ras$AREA/ 10000,
                 by= list(Reg.Ras$AOC, Reg.Ras$REGION), sum, na.rm= TRUE)
names(ddd) <- c("AOC", "REGION", "SURFACES")
ddd$SURFACES[ddd$REGION== "CDB"] <- -ddd$SURFACES[ddd$REGION== "CDB"]
library(ggplot2)
ggplot(ddd, aes(x= AOC, y= SURFACES, fill= REGION))+
  geom_bar(data= subset(ddd, REGION== "CDB"), stat= "sum")+
  geom_bar(data= subset(ddd, REGION== "CDN"), stat= "sum")+
  coord_flip()+ theme_bw()+ ylab("Surfaces en hectares")+
  xlab("Niveau d'Indication Géographique")
```

---



### 3.5 yop

## 4 Modèle économétrique

### 4.1 Estimation du modèle

Modèle OGAM comme dans le papier compagnon, il est long à estimer, il est chargeable à partir des modèles estimées sur le serveur de l'INRA. Un préalable est le regroupement de variables géologique et pédologiques, au seuil de 1000 un peu arbitraire mais équilibré. Arbitrage entre XX et XX.

---

```
Reg.Ras$NOTATION <- factor(Reg.Ras$NOTATION)
tmp <- table(Reg.Ras$NOTATION)< 1000
Reg.Ras$GEOL <- factor(
  ifelse(Reg.Ras$NOTATION %in% names(tmp[ tmp]), "0AREF",
    as.character(Reg.Ras$NOTATION)))
Reg.Ras$NOUC <- factor(Reg.Ras$NOUC)
tmp <- table(Reg.Ras$NOUC)< 1000
Reg.Ras$PEDO <- factor(
  ifelse(Reg.Ras$NOUC %in% names(tmp[tmp]), "0AREF",
    as.character(Reg.Ras$NOUC)))
library(mgcv) ; load("Inter/gamodM.Rda")
## system.time(
##   gam900 <- gam(AOC~ 0+ LIBCOM+ EXPO+ GEOL+ PEDO
##               + s(DEM)+ s(SLOPE)+ s(RAYAT)+ s(X, Y, k= 900)
##               , data= Reg.Ras, family= ocat(R= 5))
## )
## utilisateur      système      écoulé
##   32271.43         93.78      32366.00
## save(gam900, file= "Inter/gam900.Rda")
anova(gam900)
```

---

Family: Ordered Categorical(-1,5.34,14.01,20.99)

Link function: identity

Formula:

AOC ~ 0 + LIBCOM + EXPO + GEOL + PEDO + s(DEM) + s(SLOPE) + s(RAYAT) +  
s(X, Y, k = 900)

Parametric Terms:

	df	Chi.sq	p-value
LIBCOM	31	1363	<2e-16
EXPO	7	131	<2e-16
GEOL	14	441	<2e-16
PEDO	13	388	<2e-16

Approximate significance of smooth terms:

	edf	Ref.df	Chi.sq	p-value
s(DEM)	8.81	8.98	867	<2e-16
s(SLOPE)	7.72	8.61	190	<2e-16

s(RAYAT)	7.33	8.38	531	<2e-16
s(X,Y)	841.42	870.01	86597	<2e-16

Effets des variables et pourcentages de bonnes prédictions.

## 4.2 Variables biophysiques

La fonction par défaut permet de représenter graphiquement les relations statistiques entre l'altitude, la pente, le rayonnement solaire et la localisation et le rang dans la hiérarchie des AOC.

---

```
plot(gamodM$gam700, page= 1, scale= 0)
```

---

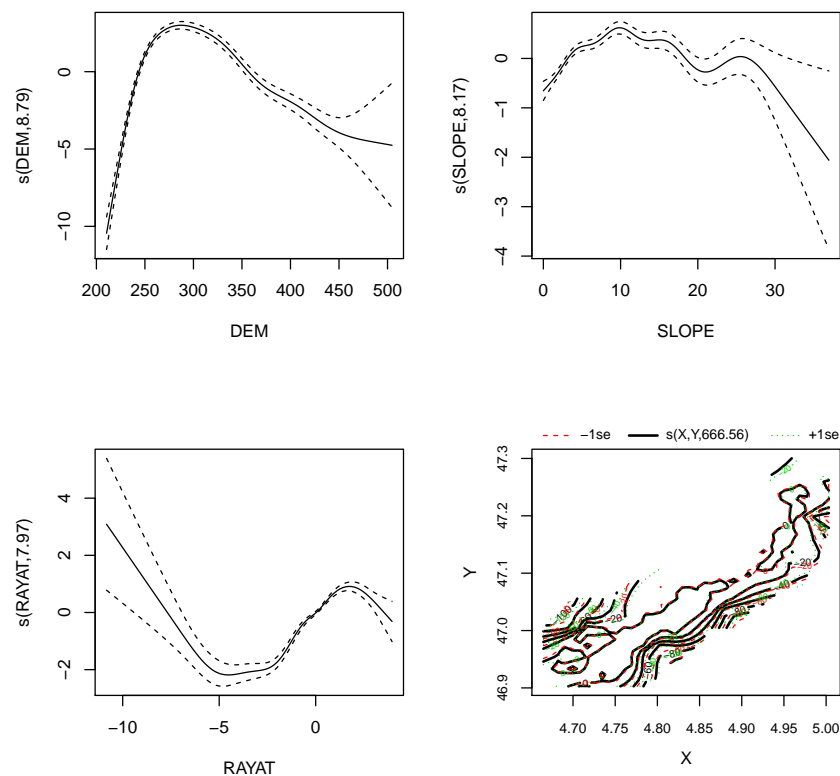


Figure 2: Effets semi-paramétriques de la topographie et de la localisation

Des Figures plus détaillées sont reportées dans l'article associé.

## 4.3 Effets communaux

Christophe Lucand (dans [Wolikow and Jacquet \(2011\)](#)) cite les experts fondateurs (les mêmes qu'Olivier): Jullien, Morelot et Lavalle, supposent l'existence d'une hiérarchie commune en trois ou quatre catégories, avec au sommet les "têtes de cuvée" puis les premières cuvées. Puis il cite la thèse d'Olivier. A cette hiérarchie



transversale se superpose une hiérarchie par villages qui ne détermine cependant en rien la réalité des zones d'approvisionnement concernées. Il s'agit plutôt d'identifications commerciales communes, investies d'un plus ou moins grand capital symbolique hérité. Ce capital symbolique hérité attribut un prestige plus ou moins grand à certaines communes ou propriétaires particulier.

---

```
library(latticeExtra) ; yop <- summary(gam900)
plogi <- function(x) exp(x/ sqrt(2))/ (1+ exp(x/ sqrt(2)))
cf <- yop$p.coeff[ 4: 31]- mean(yop$p.coeff[ 4: 31])
se <- yop$se[ 4: 31]
zz <- data.frame(LIBCOM= substr(names(gamodM$gam700$coef[ 4: 31]), 7, 30),
  OS= 2* plogi(cf)- 1,
  OSi= 2* plogi(cf- 1.5* se)- 1,
  OSa= 2* plogi(cf+ 1.5* se)- 1)
segplot(reorder(factor(LIBCOM), OS)~ OSi+ OSa, length= 5, draw.bands= T,
  data= zz[order(zz$OS), ], center= OS, type= "o",
  unit = "mm", axis = axis.grid, col.symbol= "black", cex= 1,
  xlab= "Mesure de supériorité ordinale et intervalles à 10 %")
```

---

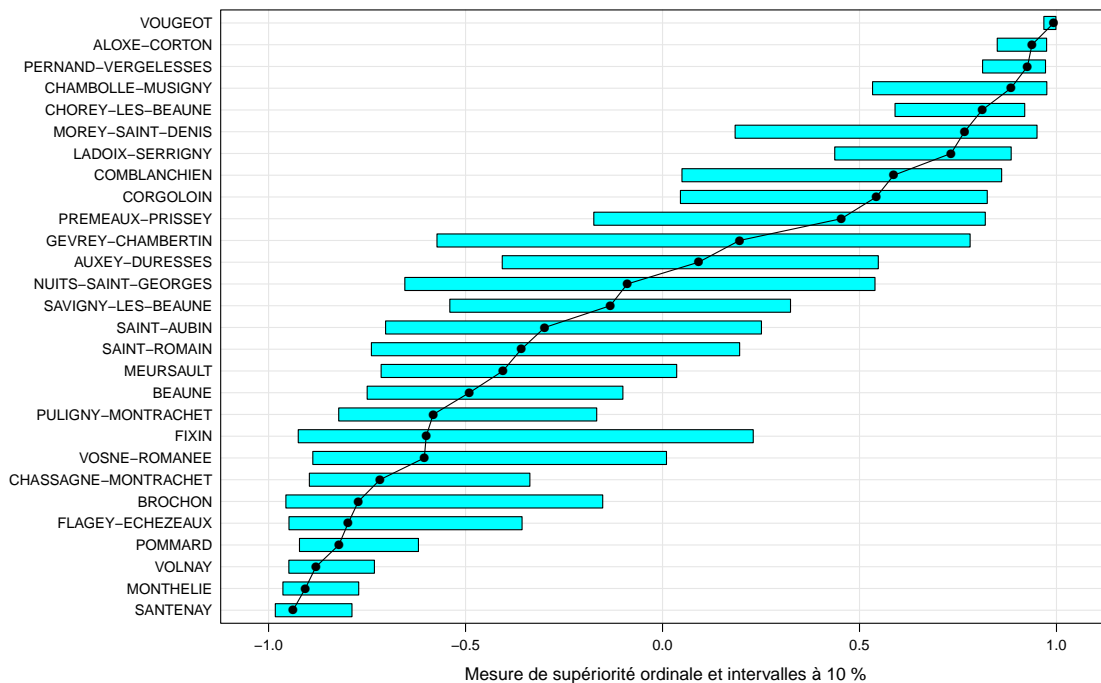


Figure 3: Effets communaux sur la classification AOC des parcelles

Mesure de supériorité ordinale blabla. Attention, ce n'est pas la même incertitude qui est représentée que dans le graphique du papier associé.

#### 4.4 Prédiction continue

C'est en fait l'espérance de la variable latente conditionnellement aux caractéristiques des parcelles. On fait la version brute non corrigé par les effets fixes et le version corrigée. Plus de détails. Le fichier /myFcts.R

disponible sur le *dataverse* de l'INRA. La prédiction est longue à tourner.

---

```
Prd.Ras <- subset(Geo.Ras, !is.na(AOC1b))
Prd.Ras$GEOL <- ifelse(Prd.Ras$NOTATION %in% levels(Reg.Ras$GEOL),
                      as.character(Prd.Ras$NOTATION), "0AREF")
Prd.Ras$PEDO <- ifelse(Prd.Ras$NOUC %in% levels(Reg.Ras$PEDO),
                      as.character(Prd.Ras$NOUC), "0AREF")
# prd <- predict(gam900, newdata= Prd.Ras@data, type= "terms")
Prd.Ras$LTraw <- rowSums(prd, na.rm= TRUE)
Prd.Ras$LTcor <- mean(prd[, 1], na.rm= T)+ rowSums(prd[, -1], na.rm= T)

unini <- function(x) (x- min(x))/( max(x)- min(x))
Prd.Ras$UFraw <- round(unini(Prd.Ras$LTraw)* 100, 2)
Prd.Ras$UFcor <- round(unini(Prd.Ras$LTcor)* 100, 2)

plot(density(Prd.Ras$UFraw), xlim= c(40, 100), col= "red",
     main= "", xlab= "Qualité prédite sur une échelle de 0 à 100")
lines(density(Prd.Ras$UFcor), col= "blue")
legend("topleft", legend= c("Non corrigé", "Corrigé"),
      col= c("red", "blue"), lty= 1)
```

---

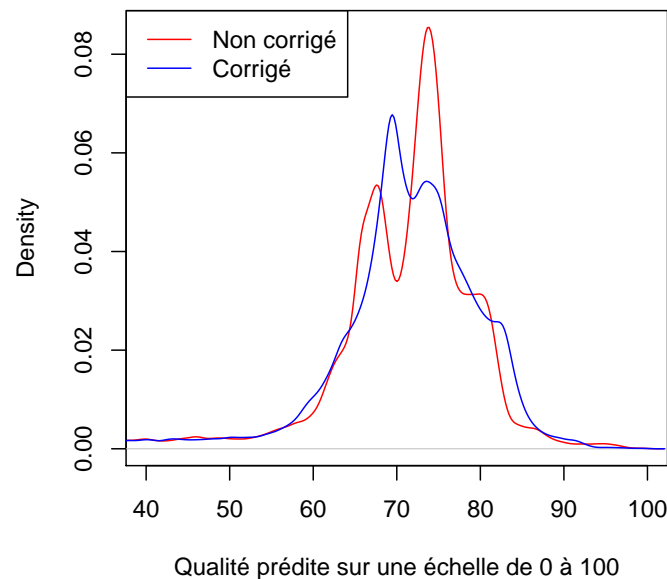


Figure 4: **Distribution des qualités prédites avec et sans correction**

Pour le graphique, on a besoin des codes en annexe qui sont également disponibles dans le fichiers `myFcts.R` disponible sur le *dataverse* de l'INRA.

---

```
library(ggplot2) ; library(plyr) ; source("./myFcts.R")
NVA <- c("Coteaux b.", "Bourgogne", "Village", "Premier cru", "Grand cru")
names(NVA) <- 1:5
```

```
cc <- rbind(
  data.frame(AOC= revalue(factor(Prd.Ras$AOC), NVA),
    Score= Prd.Ras$UFraw,
    Pr= "Uncorrected: without communes fixed effects"),
  data.frame(AOC= revalue(factor(Prd.Ras$AOC), NVA),
    Score= Prd.Ras$UFcor,
    Pr= "Corrected: with communes fixed effects"))
ggplot(cc, aes(factor(AOC), Score, fill= Pr))+
  geom_split_violin()+
  ylab("100-Point Vineyard Quality Score")+
  ylim(40, 100)+ theme_minimal()+ xlab("")+
  geom_split_violin(draw_quantiles = c(0.25, 0.5, 0.75))+
  theme(legend.justification=c(0, 1), legend.position=c(0, 1),
    legend.title = element_blank())
```

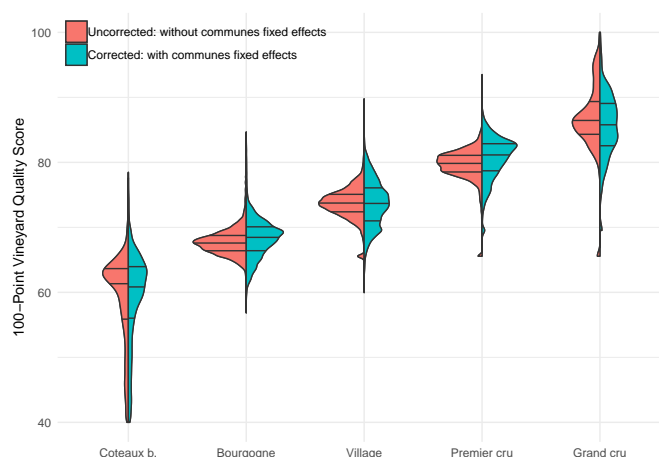


Figure 5: **Distribution des qualités prédites avec et sans correction**

Regarder comment la distinction entre les premiers crus et les grands se restreint quand on applique la correction. Les différences ne sont pas si objectives.

## 5 Application cartographique

### 5.1 Agrégation par lieux dits

Mettre des moyennes pondérées par la surface. Il faut renommer pour que les premiers crus soient lisibles. On pourrait le mettre en préalable.

```
Prd.Ras$NIVEAU <- as.character(revalue(factor(Prd.Ras$AOC), NVA))
Prd.Ras$NAME <- ifelse(Prd.Ras$AOC== 5, as.character(Prd.Ras$AOC1b),
  ifelse(Prd.Ras$AOC< 4, as.character(Prd.Ras$LIEUDIT), NA))
for (i in 1: nrow(Prd.Ras)){
  if (is.na(Prd.Ras$NAME[ i])){
    Prd.Ras$NAME[ i] <- substr(Prd.Ras$AOC1b[ i],
      regexpr(" cru+", Prd.Ras$AOC1b[ i],
        perl= T)+ 5,
      nchar(as.character(Prd.Ras$AOC1b[ i])))
```

```

    } else {(Prd.Ras$NAME[ i])}
  }
Prd.Ras$Concat <- paste0(Prd.Ras$AOC, Prd.Ras$LIBCOM, Prd.Ras$NAME)

```

---

```

library(data.table) ; Prd.Dtb <- data.table(Prd.Ras@data)
Dat.Ldt <- Prd.Dtb[, .(LIBCOM= LIBCOM[ 1], NOM= NAME[ 1],
                      NIVEAU= NIVEAU[ 1],
                      SUPha= round(sum(AREA)/ 1e5, 2),
                      PRDraw= round(weighted.mean(UFraw, AREA), 2),
                      PRDcor= round(weighted.mean(UFcor, AREA), 2)),
                      by= Concat]
library(rgdal) ; library(rgeos) ; library(maptools)
tmp_geo <- gBuffer(Prd.Ras, byid= TRUE, width= 0)
Poly.ldt <- unionSpatialPolygons(tmp_geo, Prd.Ras$Concat)
Poly.ldt$Concat <- as.character(row.names(Poly.ldt))
Poly.Ras <- merge(Poly.ldt, Dat.Ldt, by= "Concat")
Poly.Ras$RKraw <- round(rank(Poly.Ras$PRDraw)/ nrow(Poly.Ras)* 100, 2)
Poly.Ras$RKcor <- round(rank(Poly.Ras$PRDcor)/ nrow(Poly.Ras)* 100, 2)
head(Poly.Ras@data[order(Poly.Ras$RKcor, decreasing= T), c(3, 4, 5: 7)], n= 10)
Poly.Ras$NIVEAU <- factor(Poly.Ras$NIVEAU, levels= NVA)
save(Poly.Ras, file= "Inter/PolyRas.Rda")

```

---

	NOM	NIVEAU	SUPha	PRDraw	PRDcor
2364	Chambertin	Grand cru	12.880	94.22	94.11
2363	Grands-Echezeaux	Grand cru	9.087	87.73	90.76
2384	Montrachet	Grand cru	4.007	88.72	90.69
2381	Bâtard-Montrachet	Grand cru	6.034	87.73	89.68
2361	Montrachet	Grand cru	3.982	87.05	89.58
2362	Echezeaux	Grand cru	38.999	86.13	89.12
2369	Latricières-Chambertin	Grand cru	7.360	88.73	88.53
2371	Mazoyères-Chambertin	Grand cru	30.651	88.71	88.50
2359	Bâtard-Montrachet	Grand cru	5.840	85.80	88.30
2010	La Combe d'Orveau	Premier cru	2.131	91.01	87.83

Sauvegarde disponible sur le serveur de l'INRA.

## 5.2 Cartographie dynamique

yoplaboumm

---

```

library(RColorBrewer) ; library(mapview)
load("Inter/PolyRas.Rda")
AocPal <- brewer.pal(5, "BuPu")
mapviewOptions(basemaps= c("Esri.WorldImagery", "OpenStreetMap",
                           "OpenTopoMap", "CartoDB.Positron"),
               raster.palette= colorRampPalette(brewer.pal(9, "Greys")),
               vector.palette= colorRampPalette(brewer.pal(9, "YlGnBu")),
               na.color= "magenta", layers.control.pos = "topleft")
map <- mapview(Poly.Ras, zcol= "NIVEAU", label= Poly.Ras$NOM,
               layerId= Poly.Ras$Concat, alpha.regions= .5,

```

```

col.regions = AocPal, color= "white", legend.opacity= .5,
popup = popupTable(Poly.Ras@data, feature.id= FALSE,
                    zcol= names(Poly.Ras)[ -1]))
## mapshot(addLogo(map, "http://www7.inra.fr/fournisseurs/images/logo.jpg",
##                    width = 200, height = 100),
##          url = paste0(getwd(), "/Application/CotePrd.html"),
##          file = paste0(getwd(), "/Application/CotePrd.png"),
##          remove_controls = c("homeButton", "layersControl"))

```

---

## 5.3 Interface utilisateur

---

```

library(shiny) ; library(shinydashboard) ; library(shinyjs)
library(leaflet) ; library(maptools) ; library(ggplot2)
Pts.Crd <- spTransform(Poly.Ras, CRS("+proj=longlat +ellps=WGS84"))

ui <- dashboardPage(
  dashboardHeader(
    titleWidth= 550,
    title= "Classification statistique des vignobles de la Côte d'Or"),
  dashboardSidebar(disable = TRUE),
  dashboardBody(
    fluidRow(
      box(width= 4,
        column(width= 12,
          selectInput(
            "niveau",
            label= "Niveau de l'appellation",
            choices=
              c(as.character(unique(Poly.Ras$NIVEAU)),
                "TOUS"), selected= 1),
          selectInput(
            "commune",
            label= "Commune de la parcelle",
            choices= c(
              as.character(unique(Poly.Ras$LIBCOM)),
              "TOUTES"), selected= 1),
          selectInput(
            "nom",
            label= "Lieu dit de la parcelle",
            choices= c(
              as.character(unique(Poly.Ras$NOM)),
              "TOUS"), selected = 1),
          plotOutput("miplot", width='100%'),
          tableOutput('table'))),
      box(width = 8,
        column(width = 12,
          leafletOutput("mymap", height= 650),
          fluidRow(verbatimTextOutput("mymap_shape_click"))
        )
      )
    )
  )
)

```

---

## 5.4 Calculs serveur

```
## click, mouseover, and mouseout, null before the first click
server <- function(input, output, session) {
  observe({
    updateSelectInput(
      session, "commune",
      choices= c(
        as.character(unique(Poly.Ras$LIBCOM[Poly.Ras$NIVEAU
                           %in%
                           input$niveau])),
        "TOUTES"))))
  observe({updateSelectInput(
    session, "nom",
    choices= c(
      as.character(unique(Poly.Ras$NOM[Poly.Ras$NIVEAU %in%
                                   input$niveau &
                                   Poly.Ras$LIBCOM %in%
                                   input$commune ]))),
      "TOUS"))))
  observe({
    yop <- Poly.Ras$PRDcor[Poly.Ras$NIVEAU %in% input$niveau &
                          Poly.Ras$LIBCOM %in% input$commune &
                          Poly.Ras$NOM %in% input$nom ]
    getCrds <- reactive({## LE ZOOM
      coordinates(Pts.Crd[Pts.Crd$NIVEAU == input$niveau &
                          Pts.Crd$LIBCOM == input$commune &
                          Pts.Crd$NOM == input$nom , ])
    })
    getPts <- reactive({## LE POINT
      Pts.Crd[Pts.Crd$NIVEAU %in% input$niveau &
              Pts.Crd$LIBCOM %in% input$commune &
              Pts.Crd$NOM %in% input$nom, ]
    })
    getPts2 <- reactive({## LE CLICK
      Pts.Crd[Pts.Crd$Concat == input$mymap_shape_click$id, ]
    })
    output$mymap <- renderLeaflet({
      map@map %>%
        setView(mean(coordinates(getPts())[ , 1]),
                mean(coordinates(getPts())[ , 2]), zoom= 17) %>%
        addCircleMarkers(data= SpatialPoints(getPts()))
    })
    output$miplot <- renderPlot({
      top <- round(
        101- aggregate(I(Poly.Ras$PRDcor< yop)*100,
                       by= list(Poly.Ras$NIVEAU, mean)[ , 2])
      ggplot(Poly.Ras@data, aes(x= factor(NIVEAU),
                              y= PRDcor, fill= factor(NIVEAU)))+
      geom_violin(trim=FALSE)+ theme_minimal()+ ylim(40, 100)+
      geom_boxplot(width=0.1, fill="white")+
      annotate("text", x= 1: 5, y= 100,
               label= paste("Top", top, "%"))+
      labs(title= "Comparaison avec les autres parcelles",
           x= "", y= "Niveau sur une échelle de 1 à 100")+
      scale_fill_manual(values= AocPal)+
      theme(legend.position= "none")+
    })
  })
}
```

```

    scale_x_discrete(expand= expand_scale(mult= 0, add= 1),
                     drop=T)+
    geom_hline(yintercept= yop, lty= 3, col= "red")+
    annotate("text", x= 0.35, y= yop+ 2,
            label= paste("Score=", round(yop, 2)), col= "red")
  })
}

## input$mymap_shape_click

```

---

## 5.5 Lancement de l'application

---

```

source("./ui.R")
source("./server.R")
shinyApp(ui, server)

```

---

## 6 Conclusion

Le chiffres d'affaire des signes de qualité c'est 32 milliards d'euros et le budget de l'INAO 32 millions d'euros, c'est un millième du chiffre d'affaires.

---

```
sessionInfo()
```

---

## 7 Bibliographie

### References

- Ay, J.-S. (2011). Hétérogénéité de la terre et rareté économique. Theses, Université de Bourgogne.
- Capus, J. (1947). *L'Évolution de la législation sur les appellations d'origine. Genèse des appellations contrôlées*. L. Larmat.
- Coestier, B. and Marette, S. (2004). *Economie de la qualité*. La découverte.
- Garcia, J.-P. (2011). *Les climats du vignoble de Bourgogne comme patrimoine mondial de l'humanité*. Ed. Universitaires de Dijon.
- Humbert, F. (2011). L'INAO, de ses origines à la fin des années 1960: genèse et évolutions du système des vins d'AOC. Ph.D. thesis, Université de Bourgogne.
- Jacquet, O. (2009). *Un siècle de construction du vignoble bourguignon. Les organisations vitivinicoles de 1884 aux AOC*. Editions Universitaires de Dijon.
- Wolikow, S. and Jacquet, O. (2011). *Territoires et terroirs du vin du XVIIIe au XXIe siècles*. Éditions Universitaires de Dijon.



## A Annexes

---

```
as.vector(Geo.CDem$IDU[Geo.CDem$AOC== "BGOR" & rowSums(Geo.CDem@data[, c(24, 26: 29)])> 0])
as.vector(Geo.CDem$IDU[Geo.CDem$AOC== "BOUR" & rowSums(Geo.CDem@data[, 26: 29])> 0])
as.vector(Geo.CDem$IDU[Geo.CDem$AOC== "VILL" & rowSums(Geo.CDem@data[, c(26, 29)])> 0])
as.vector(Geo.CDem$IDU[Geo.CDem$AOC== "PCRU" & Geo.CDem@data[, 26]> 0])
```

---

```
[1] "21412000AZ0139" "21464000AN0094" "21492000AR0011"
[4] "21492000BN0045" "215690000C0840"
```

```
[1] "210370000A0507" "21110000AK0116" "21150000AM0096"
[4] "21428000AA0019" "21582000BC0069"
```

```
[1] "21037000AH0094" "21037000AH0096" "21110000AM0101"
[4] "21133000AB0401" "21133000AC0005" "21133000AC0003"
[7] "21133000AC0002" "21133000AC0004" "21512000AE0292"
[10] "21582000AL0049"
```

```
[1] "21442000AB0315"
```

Pour retrouver les intitulés des UCS, nous utilisons le site web <https://bourgogne.websol.fr/carto> où les différents types de sols qui composent les UCS sont consultables. Le travail manuel a consisté à extraire les coordonnées Lambert 93 d’au moins une parcelle par UCS et d’aller chercher sur le site le nom de l’UCS correspondante. Nous voyons également que lorsque l’UCS est un numéro manquant c’est qu’il s’agit de sols artificialisés (Chenôve, Nuits et Beaune). Il y a un léger effet frontière au sud sur les valeurs qui ne sont pas appariées.

---

```
yy <- data.frame(coordinates(GCDtmp3), GCDtmp3$NOUC)
yy[!duplicated(GCDtmp3$NOUC), ]
plot(GCDtmp3)
plot(GCDtmp3[GCDtmp3$NOUC== "0",], col= "blue", add= T, pch= 20)
```

---

---

```
GeomSplitViolin <- ggproto("GeomSplitViolin", GeomViolin,
  draw_group = function(self, data, ..., draw_quantiles = NULL) {
    # Original function by Jan Gleixner (@jan-glx)
    # Adjustments by Wouter van der Bijl (@Axeman)
    data <- transform(data, xminv = x - violinwidth * (x - xmin), xmaxv = x + violinwidth * (xmax - x))
    grp <- data[1, "group"]
    newdata <- plyr::arrange(transform(data, x = if (grp %% 2 == 1) xminv else xmaxv), if (grp %% 2 == 1) y else -y)
    newdata <- rbind(newdata[1, ], newdata, newdata[nrow(newdata), ], newdata[1, ])
    newdata[c(1, nrow(newdata) - 1, nrow(newdata)), "x"] <- round(newdata[1, "x"])
    if (length(draw_quantiles) > 0 & !scales::zero_range(range(data$y))) {
      stopifnot(all(draw_quantiles >= 0), all(draw_quantiles <= 1))
      quantiles <- create_quantile_segment_frame(data, draw_quantiles, split = TRUE, grp = grp)
      aesthetics <- data[rep(1, nrow(quantiles)), setdiff(names(data), c("x", "y")), drop = FALSE]
      aesthetics$alpha <- rep(1, nrow(quantiles))
      both <- cbind(quantiles, aesthetics)
      quantile_grob <- GeomPath$draw_panel(both, ...)
```

```

    ggplot2::ggname("geom_split_violin", grid::grobTree(GeomPolygon$draw_panel(newdata, ...), quantile_grob))
  }
  else {
    ggplot2::ggname("geom_split_violin", GeomPolygon$draw_panel(newdata, ...))
  }
}
)

create_quantile_segment_frame <- function(data, draw_quantiles, split = FALSE, grp = NULL) {
  dens <- cumsum(data$density) / sum(data$density)
  ecdf <- stats::approxfun(dens, data$y)
  ys <- ecdf(draw_quantiles)
  violin.xminvs <- (stats::approxfun(data$y, data$xminv))(ys)
  violin.xmaxvs <- (stats::approxfun(data$y, data$xmaxv))(ys)
  violin.xs <- (stats::approxfun(data$y, data$x))(ys)
  if (grp %% 2 == 0) {
    data.frame(
      x = ggplot2::interleave(violin.xs, violin.xmaxvs),
      y = rep(ys, each = 2), group = rep(ys, each = 2)
    )
  } else {
    data.frame(
      x = ggplot2::interleave(violin.xminvs, violin.xs),
      y = rep(ys, each = 2), group = rep(ys, each = 2)
    )
  }
}

geom_split_violin <- function(mapping = NULL, data = NULL, stat = "ydensity", position = "identity", ...,
  draw_quantiles = NULL, trim = TRUE, scale = "area", na.rm = FALSE,
  show.legend = NA, inherit.aes = TRUE) {
  layer(data = data, mapping = mapping, stat = stat, geom = GeomSplitViolin, position = position,
    show.legend = show.legend, inherit.aes = inherit.aes,
    params = list(trim = trim, scale = scale, draw_quantiles = draw_quantiles, na.rm = na.rm, ...))
}

```

---